

(99)

溶鋼中のCe-S平衡に対する温度およびC, Mnの影響

川鉄技研 ○工博 鈴木健一郎, 原田信男, 江島彬夫
工博 三本木貢治

1. 緒言; 鋼中硫化物のシェーブコントロールに関する基礎研究として、前報¹⁾につづいてCe-S平衡の温度変化、および平衡に対するC, Mnの影響を求めた。
2. 実験; 平衡実験は、あらかじめ1600°C, 10⁻⁴TorrにてCeSを3mm厚にライニングしたアルミナるつぼを用い、Ar気流中で真空溶解純鉄を溶解後、FeS, Al, Ce, C, Mnを添加し、1550~1600°Cの所定温度に30min保持し、反応管下部でHeジェットにより試料を急冷凝固させる方法で行なった。
3. 実験結果および考察; 本系の反応式は、溶鋼と共存する硫化物相が、実験温度およびC, Mnの存在の有無にかかわらずCeS(s)であることから(1)式で表わされる。



Fe-Ce-S系の実験結果を図1に示す。ここで、 $\log K'$ は次式で表わされる溶解度積であり、図上で

$$\log K' \approx \log K - e^{(\text{Ce})} \cdot ([\% \text{Ce}] + 4.37 [\% \text{S}]) \quad (K; \text{平衡定数}) \quad (2)$$

$\log K$ および $e^{(\text{Ce})}$ を求め、その温度関数を図2に示した。これは(3), (4)式で表わされる。

$$\log K = -20,600 / T + 6.3, \quad (3) \quad e^{(\text{Ce})} = -213,000 / T + 94.0, \quad e^{(\text{S})} = 4.37 e^{(\text{Ce})}$$

$$([\% \text{Ce}] + 4.37 [\% \text{S}] \leq 0.16) \quad (4)$$

C, Mnの影響を、 $\log K'$ の $[\% \text{Ce}] + 4.37 [\% \text{S}] = 0$ への外挿値、 $\log K''$ と $[\% \text{C}]$, $[\% \text{Mn}]$ の関係で示したのが図3である ($[\% \text{Ce}] + 4.37 [\% \text{S}] = 0.10 \sim 0.16$)。 $\log K'_{1600^\circ\text{C}}$ と $\log K''$ の差は $(e^{(\text{C})} + e^{(\text{Mn})}) \cdot [\% \text{C}]$ などに相当し、 $e^{(\text{C})}$, $e^{(\text{Mn})}$ の値²⁾ を考慮すれば同図より $e^{(\text{C})} = 0.002$ がえられる。 $e^{(\text{Mn})}$ についてはデータのバラツキが大きく、検討中である。

一方、 CeS (s) の ΔG_f° , $\text{S}_2 = 2\text{S}$ の ΔG_f° と本実験結果より、 $\text{Ce (l)} = \text{Ce (s)}$ の反応に対し、次式が与えられる。

$$\Delta G^\circ = -4,900 + 16.0T \quad (5)$$

4. 参考文献; 1) 鈴木ら; 鉄と鋼, 60(1974), S51.
- 2) J.F.Elliott; Thermochemistry for Steelmaking, Addison Wesley, Mass., (1960).
- 3) 学振19委; 鉄と鋼, 58(1972), 1535.

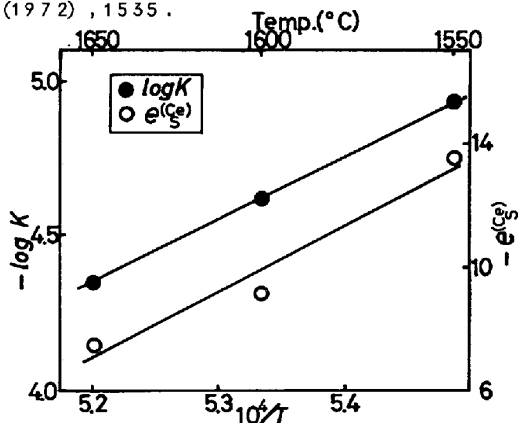


図2 $\log K, e^{(\text{Ce})}$ の温度変化

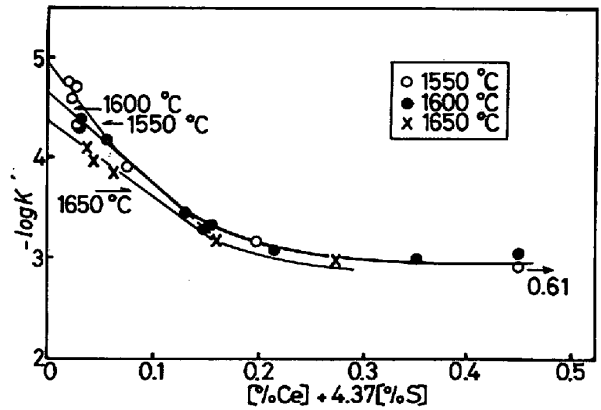


図1 $\log K'$ におよぼすCe, S濃度の影響

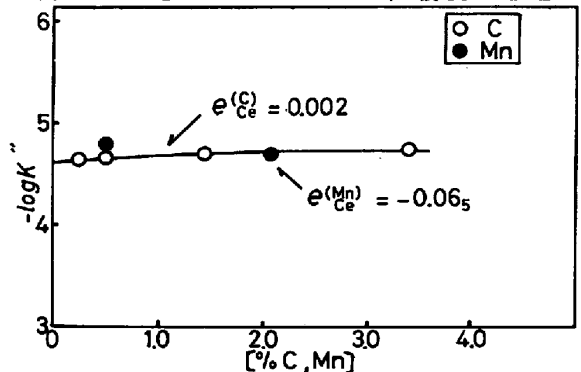


図3 $\log K''$ に対するC, Mnの影響,

1600°C $[\% \text{Ce}] + 4.37 [\% \text{S}] \rightarrow 0$.